

4. The Blatchford score is an useful index in the management of Mallory-Weiss tear and gastrointestinal bleeding: experience from an urban community hospital / Banerjee S [et al.] // ActaGastroenterol Belg. – 2012. – Vol. 75, №4. – P. 432-437.

## **АУСКУЛЬТАТИВНАЯ КАРТИНА БРОНХИАЛЬНОЙ АСТМЫ ПРИ НАЛИЧИИ СТРУКТУРНОЙ ПАТОЛОГИИ ЛЁГКИХ У ДЕТЕЙ**

**Ненартович И.А.**

*ГУО «Белорусская медицинская академия последипломного образования»*

Бронхиальная астма (БА) — это хроническое воспалительное состояние, ассоциированное с вариабельной обструкцией дыхательных путей и бронхиальной гиперреактивностью, которое проявляется в виде повторяющихся эпизодов свистящего дыхания, кашля, ощущения нехватки воздуха и чувства стеснения в груди. Появление этих симптомов объясняется высвобождением провоспалительных медиаторов и хемотаксических факторов, которые обуславливают развитие бронхоспазма, отека слизистой и гиперсекрецию слизи. БА может сосуществовать со структурной патологией лёгких (СПЛ)[1], что позволяет выявить компьютерная томография (КТ) высокого разрешения [2]. Нов доступных информационных источниках отсутствуют сведения об особенностях клинических проявлений БА, ассоциированной со СПЛ, у детей.

**Цель:** сравнить аускультативную картину БА при наличии СПЛ и без СПЛ.

**Материалы и методы.** Обследован 101 пациент 6-17 лет с БА среднетяжелого и тяжелого персистирующего течения из числа госпитализированных в пульмонологическое отделение УЗ «Минская областная детская клиническая больница» в период 2010-2013 гг. Пациента с БА включали в программу настоящего исследования при соблюдении всех критериев включения, которые были сформулированы так: установленный диагноз БА среднетяжелого/тяжелого персистирующего течения; возраст пациента 6-18 лет; наличие информированного согласия законных представителей пациента на его участие в настоящем исследовании. Пациент исключался из исследования при наличии хотя бы 1 критерия исключения: возраст пациента младше 6 лет и старше 18 лет; течение БА легкой степени тяжести; отказ законных представителей пациента от его участия в исследовании на любом этапе его проведения; выраженные нарушения функции сердечно-сосудистой системы, печени, почек, центральной нервной системы, нарушения системы свертываемости крови; туберкулез; состояния, требующие проведения неотложных мероприятий и интенсивной терапии, астматический статус, пациенты в бессознательном состоянии.

Стратификация пациентов на 2 группы осуществлялась после получения данных КТ органов грудной клетки (128-срезовый компьютерный томограф Siemens SOMATOM Definition AS): группа 1 – пациенты с БА и СПЛ; группа 2 – пациенты с БА без СПЛ. Под СПЛ понимали отклонение от нормальной КТ-анатомии бронхов, легких и плевры с учетом вариантного строения. Последующую стратификацию пациентов каждой группы на 2 подгруппы проводили в зависимости от наличия/отсутствия персистирования симптомов БА (оценены при физикальном осмотре): подгруппа 1 – пациенты с персистированием симптомов БА (кашель, удушье, затрудненное дыхание, сухие хрипы в легких) на момент включения в исследование; подгруппа 2 – пациенты без персистирования симптомов БА.

База данных была создана в среде MS Excel 2007, статистическая обработка результатов произведена ППП STATISTICA 6.0. Критическим уровнем значимости при проверке гипотез принимали  $p < 0,05$ .

**Результаты и их обсуждение.** По результатам выполненной КТ у 47 (46,5%) пациентов были выявлены различная СПЛ (рисунок 1). Примечательно, что у 9 детей выявлялись сочетания структурной патологии лёгких: 1 (11,1%) пневмофиброз + плевральные спайки, 1 (11,1%) пневмофиброз + булла, 2 (22,2%) пневмофиброз + усиленный деформированный легочной рисунок (УДЛР), 1 (11,1%) эмфизема + УДЛР, 1 (11,1%) пневмофиброз + перибронховаскулярные узелки (ПБВУ), 1 (11,1%) пневмофиброз + ателектаз, 1 (11,1%) пневмофиброз + плевральные спайки + ПБВУ, 1 (11,1%) эмфизема + УДЛР + плевральные спайки. Общая характеристика сравниваемых групп приведена в таблице 1. IgE-фенотип аллергической БА диагностирован у 28 (59,6%) пациентов группы 1 и 30 (55,5%) – группы ( $\chi^2 = 0,17$ ,  $p = 0,68$ ). При сопоставлении аускультативной картины статистически значимых различий между группами не выявлено (таблица 2). На момент поступления у всех пациентов 2 групп было жесткое дыхание. На кашель жаловались 20 (100%) пациентов с персистированием симптомов в группе 1 и 22 (100%) в группе 2, а без персистирования симптомов БА – 8 (30%) и 7 (22%), соответственно ( $\chi^2$  с поправкой Йетса 0,15,  $p = 0,7$ ).

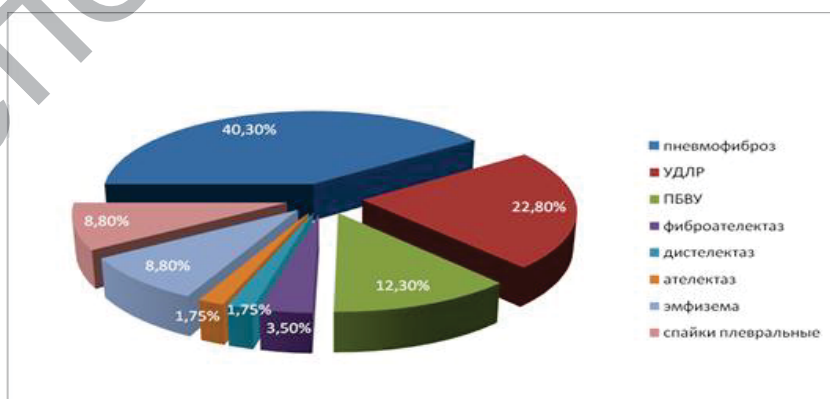


Рисунок 1 - Структурные изменения легких у детей с бронхиальной астмой

Таблица 1 - Общая характеристика сравниваемых групп

Параметр	Группа 1, n=47, абсолютное число (%), (95%ДИ)	Группа 2, n=54, абсолютное число (%), (95%ДИ)	p
Пол			0,59
Мальчики	32 (68)	34 (63)	
Девочки	15 (32)	20 (37)	
Длительность БА, года	5 (2–8)	5 (2–7,4)	0,75
Степень тяжести БА			
Средней степени	39 (83)	47(87)	0,57
Тяжелой степени	8 (17)	7 (13)	
Формы БА:			
Аллергическая	44 (93,6)	49 (90,8)	0,54
Смешанная	3 (6,4)	2 (3,7)	0,43
Неуточненная	0	3 (5,5)	0,15

Примечание:

p— уровень статистической значимости

Таблица 2 - Аускультативная картина у пациентов группы 1 и группы 2

Хрипы	Группа 1		P <sub>1</sub>	Группа 2		P <sub>2</sub>
	Подгруппа 1, (n=20), абс.( %)	Подгруппа 2, (n=27), абс.( %)		Подгруппа 1, (n=22), абс.( %)	Подгруппа 2, (n=32), абс.( %)	
Сухие	15 (75%)	0	0,32	14 (64%)	0	-
Влажные	3 (15%)	0	0,41	2 (9%)	0	-

Примечание:

P<sub>1</sub>— уровень статистической значимости между подгруппами 1 группы 1 и группы 2,

P<sub>2</sub>— уровень статистической значимости между подгруппами 2 группы 1 и группы 2

Вывод: у БА при наличии СПЛ не выявлено специфических особенностей аускультативной картины.

#### Литература:

1. Papadopoulos, N. et al. / International consensus on (ICON) pediatric asthma. – [Electronic resource]. – Mode of access: International consensus on (icon) pediatric asthma. 2012; DOI: 10.1111/j.1398-9995.2012.02865.x. – Date of access: 14.06.2012.
2. Лучевая диагностика органов грудной клетки: национальное руководство/гл. ред. В.Н. Троян, М.: Гэотар-Медиа, 2014.– 584 с.